

## III—2 シラス地盤における鋼管杭の支持力機構について

日本道路公团 札幌建設局 構造技術課 大西敏夫  
○土屋一郎

## 1. はじめに

北海道における高速自動車国道は、58年11月末までに札幌～白老間、札幌～岩見沢間及び札幌～小樽間が供用しており、総延長は約130kmとなり本格的な高速道路の幕開けをながえた。現在工事中の区間は、約165kmあり既に施工されている。このうち、白老～登別間約35kmは、北海道有数の火山灰地帯であり、苫小牧地区は支笏湖シラス、登別地区は厚多業シラスと呼ばれています。土質分類上特殊土とされておりその特性は不明な点が多い。当地区では、橋梁基礎工の施工において、鋼管杭・ベノト杭・ケーソン工・直接基礎が施工されているが、鋼管杭・ベノト杭については施工に先立ちその支持力機構を確認しながら実施しているが、本報告はこれらを紹介するものである。

## 2. シラス地盤の特性

シラスの研究は南九州で特にさかんであり、<sup>12</sup>シラスとは火山の爆発により火山から大量の火砕流(または軽石流)が流出する“煙雲型噴火”と呼ばれる形態に起因する溶結していない火砕流タイ積物、他の軽石質火砕タイ積物を含む地盤を意味している。シラスは、一次タイ積シラスと二次タイ積シラスとに分けられることが多いが、両者の標準貫入試験の違いを図-1に示す。一次シラスは、比較的良好な繊維状の粒子がインターロッキング効果により結合力が強く構造物の基礎地盤としては、比較的問題はない。二次シラスは、沖積したシラスと表えられるものが多く、N値が20以下の層が厚く支持層とするには問題がある。又、均等係数も1.0の前後を示し、地下水位も高い場合が多い。一次シラスにおけるN値については、粒子がインターロッキング効果を遮断しているものを貫入試験により、粒子の結合構造を破壊し、さらに繰返し打撃を加えることにより低く評価していることも考えられその値の採用は必ずしも正しい。これは、鋼管杭の打撃工法とも類似している。

シラス地盤における基礎工の選定においては、一次シラスの場合はその支持層(N=30)を目標とし、その構造検討により、ベノト杭あるいは鋼管杭を採用する。二次シラスにおいては、その柱状図から判断すると、一般的に支持地盤は深く支持されると、杭長L=30m程度とされる場合が多く鋼管杭を採用することになる。鋼管杭をシラス地盤に適用すると、前述したように打撃工法によるシラス粒子の破壊による体積変化あるいは、動的支持力の低下など多くの不明点がある。例えば、鋼管杭の先端補強バンドの形状によつては、先端閉じき効果が低下すること及びダイレクタンシーが負を示し、鋼管杭外面のマサツカが低下することも考えられる。

## 3. 場所打ち鉄筋コンクリート杭(ベノト杭)試験

本試験の地盤は、地下-10m位まではN=10の軟弱な泥炭及び粗粒火山灰であり、地下-10m以深はN=30位の繊維状火山灰で一次シラスに近い。(図-2) ベノト杭は、Φ1200, L=16.5mを設計されている。本試験では、ベノト杭の設計支持力の安全性の確認、杭先端部における支持力状況や地盤の横方向反力係数K値を調査した。

## ① 鉛直載荷試験

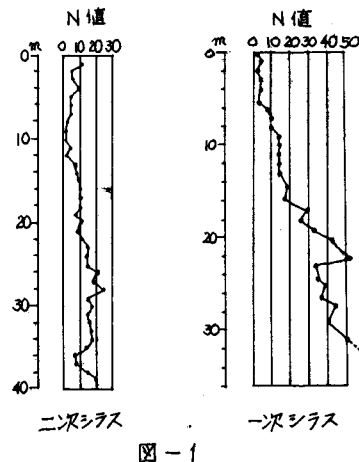


図-1

杭頭部における長期許容支持力は  $R_a = 330 t$  /本で、設計支持力は  $Z_31 = 1 t$  /本のため十分安全である。杭先端地盤における荷重～沈下の関係で、沈下量が初期応力レベルよりかたり大きかった。そして公因で求めた杭先端地盤支持力は  $S_d = 300 t$  /本で、結果はそれより近い  $S_d = 330 t$  /本であった。また杭の周面マサツ強度は非常にバラついていたが、平均的には  $t = 0.7 N$  であった。

## ② 木平載荷試験

設計時に採用した横方向地盤反力係数  $K$  値は、 $K = 0.5 t/cm^2$  である。結果から  $K$  値（変位  $1 cm$  の時の  $K$  値）で  $K_0 = 0.94 t/cm^2$  であり、設計は安全であることが判った。杭頭固定条件として、杭頭変位が  $1 cm$  に及ぶ時の木平荷重は  $H = 40 t$  であった。

## ③ 杭材の強度と杭先端地盤の $N$ 値

杭材として使用したコンクリートは、打設後約  $100$  日経過した時に、最大圧縮強度  $f_c = 440 \sim 470 t/cm^2$ 、ヤング率は  $E_c = 2.6 \sim 3.3 \times 10^{10} t/cm^2$  であった。

また、杭先端地盤の  $N$  値は、鉛直載荷以前、以後のあいだびにはほとんど変化がなかった。以上のべた杭の載荷試験によると、シラス地盤における設計は通常の砂質地盤として設計しても特に問題がない。

## 4. 鋼管杭の試験

鋼管杭の施工試験は、いくつかの現場で実施されており下記に示す。

### ① 試験 A

本試験は、火山灰台地と河川の浸食作用により形成された沖積平野との境界領域に位置し、地層が約  $30^\circ$  以上の急傾斜の箇所を行った。地質は、 $0 \sim -3.5 m$  は  $N$  値  $10 \sim 30$  程度で、それ以深は  $N \geq 30$  とすこしおり一級シラスである。（図-3）含水比は、平均して  $50\%$  を越えており、Hazen の式による透水係数は  $2 \times 10^{-4} \sim 5 \times 10^{-5}$  である。本試験では、先端補強バンドの形状による比較、鉛直載荷及び水平載荷試験を行った。

#### ①-1 先端補強バンドの形状の比較

先端補強バンドを表-1 に示すように種類ごと打込み試験を行った。管内土の下り量をみると開孔効果がわからず、外側に先端補強バンドを付けた開端杭及びマイナスリブ杭（ $r = 800 mm$ ）は開孔効果がほとんど見られないと。これは、外側先端補強バンドによりシラス粒子が破壊され、さらに管内に入ったシラス粒子も繰返し打撃を受けることにより破ることなく、管内土が上昇したことによるものと考えられる。図-5 にて打当たりの貫入量の比較を示すが、この結果からも先端開孔効果の差があるがわかる。又、表-1 に動力学公式による許容支持力を示すが各公式により大きな差が出ている。外側先端補強バンドの形式は、シラス地盤では粒子研磨及び杭外面の周面マサツ力につれてシラス粒子が復元力が小さいため、杭外面とシラス地盤との間にすき間があくといった現象が考えられ周面マサツ力の低下を予想される。このため、他工区で外側補強バンドと内側補強バンドとの比較試験を実施した。

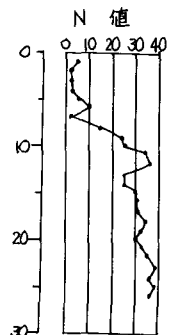


図-2 ベット杭

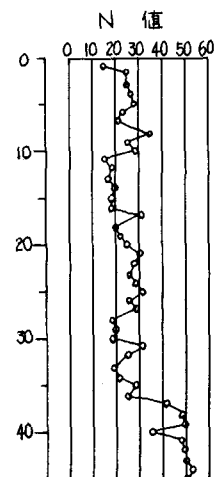


図-3 試験 A

表-1 先端形状と打設試験結果

	1	2	3	4	5	6
先端形状	□	□	△	□	△	□
杭長(m)	26.0	45.6	26.0	26.0	26.0	26.0
管内土 (cm)	-5.2	0.4	0.4	0.15	-0.05	-1.2
下り量 鉛直土量 (kg/m)	79.6	100.9	101.6	100.6	99.8	95.3
動力学公 式による 許容支持力 (t)	242 (237)	549 (237)	225	221	229	259 (259)
Hillay 許容支持力 (t)	272 (103)	349 (103)	95	83	121	234 (151)
旧建築学会 許容支持力 (t)	129 (68)	235 (68)	64	58	74	129 (96)
中振結果 変形						正常

図-4に一打当りの貫入量の比較を示すが、これによれば、明らかに内側補強バンドの方が先端開孔効果が見られ、動力学公式による支持力も当然大きくなる。このため、当区域のシラス地盤の鋼管杭の先端補強バンドの形式は、比較的浅い層に明確な支持層がある場合を除き、支持層が深い場合は先端支持力の占める割合が小さくため内側補強バンドと施工している。

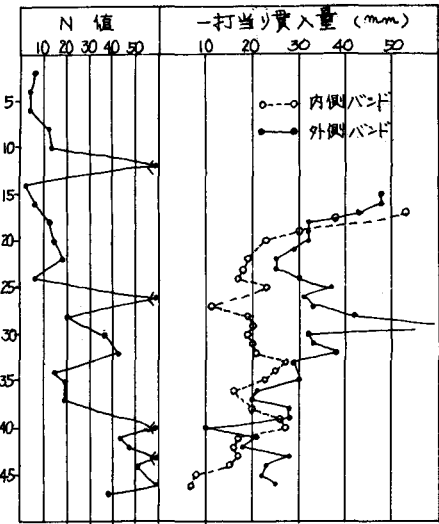


図-4 内側・外側バンドの比較

### ①-2. 鉛直載荷試験

鉛直載荷試験について2は、表-1に示す補強バンド無の開端杭及び十字リブ杭( $n = 1600 \text{ mm}$ )について、杭長 $L = 26 \text{ m}$ を実施した。表-2, 3に結果を示す。開端杭は打込試験による挙動が不自然であったことから、管内土を掘削した結果杭が大きく変形していく。この原因として、傾斜地盤であることに、杭先端強度の不足、層に小石等の混在が考えられる。一方で、載荷試験結果は参考値としている。十字リブ杭の静的載荷試験により求められた許容支持力( $R_a = 82 \sim 100 \text{ kN}$ )は、静的公式より算定された許容支持力( $R_a = 140 \text{ kN}$ )の $60 \sim 70\%$ であり、動力学公式より求めた許容支持力は、 $1.3 \sim 3.3$ 倍大きな値を示す。従って、当地区の地層では、上記形式の鋼管杭の静的及び動的の公式的な適用には問題がある。表-3に極限状態の先端支持力量、平均周面マツツ強度及び動力学公式による計算値を示す。これらによると $8d$ 、 $f_i$ とともに計算値の $1/2 \sim 1/3$ の値を示し、外側補強

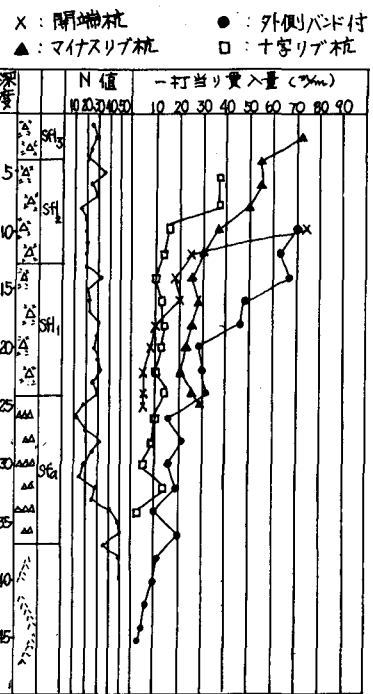


図-5 先端補強の比較

表-2 鉛直載荷試験

	十字リブ杭	開端杭	
先端形状			
降伏荷重 Py	200	(600)	
極限荷重 Ru	アーフヨリ	判定せず	
	Van Der Veenの方法	300	(800)
	宇都山の方法	245	(260)
長期静容支持力 Ra	82~100	(267~300)	
Ra / 許容支持力(140) × 100 %	59~71	(191~214)	
動力学公式との比較			
直路筋式 / Ra	2.7~3.3	(0.83~0.93)	
Hiley式 / Ra	2.3~2.9	(0.91~1.02)	
旧建築学会式 / Ra	1.3~1.6	(0.43~0.48)	

表-3 先端支持力・周面マツツ力

	載荷試験	設計値		試験値	修正算定式
		算定式	計算値		
先端支持力量 ( $\text{kN}/\text{m}^2$ )	208.5	$8d = 30 \cdot N$	690	0.30	$8d = 6 \sim 10N$
周面マツツ強度 ( $\text{kN}/\text{m}^2$ )	2.1	$f_i = \sqrt{f_i}$ (砂質土)	4.7	0.45	$f_i = 1/10 \sim 1/15 N$

バンドのシラス地盤における支持力の低下から、本型式の鋼管杭の採用には問題がある。

### ①-3. 水平載荷試験

水平載荷試験結果を表-3, 4に示す。これによると当区域のシラス地盤においては、鋼管杭の打設による振動によって、杭頭附近の地盤は劣化し、杭頭附近(1/3)のN値は打設後において大半に低下し、結果として、横方向地盤反力係数Kは約1/4程度に低下した。又、水平許容支持力も設計値に比較して大半に小さな値を示した。なおN値は打設2ヶ月後であるが回復していない。他工区で鋼管杭の打設前後のN値を測定したがN値の変化が少なかった。この原因としては、当工区が含水比が着しく高い箇所であり、地盤の劣化は地下水位との関係が直接であることが予想される。

### ②. 試験 B

本試験は、GL-6.8mまで軟弱な砂質ミルトとシルト混り泥炭であり、それ以深は火山灰が連続している地層である。火山灰地層は中間にシルト層と一部含むがそれ以外はN値10以下が多く、半硬シラス的の性状を示している。試験杭は先端補強バンドを内側で、鉛直載荷試験を行っている。尚、当地区には支持層と見られるより下のN=30の地層がGL-40~50mに位置する地層が多く、杭長が極めて長くならないことから、マサシ杭としての取扱いが可能かどうかの確認試験を行った。(図-6)

#### ②-1. 鉛直載荷試験

表-5に鉛直載荷試験の結果を示す。この結果、静的支承力については、試験結果は静的支持力に比べて約1.3倍、動的支持力に比べて86%の値を示した。このうち、静的支持力に比べて、杭の周面マツカは約1.6倍、杭の先端支承力は、85%の値であった。周面マツカ強度とN値との関係は  $\tau = \frac{1}{5} N + (1 \sim 3)$  程度となる。一般的に、シラス地盤における支持力は砂質土に比べて小さく、と言われているが、本試験を見ると、鋼管杭の先端補強バンドを内側とすることで、シラス地盤を乱さず、標準施工を行えば、静的公算による支持力は十分に得られるものと考えられる。

#### ③ 他の地の試験

##### ③-1. シラス地盤の上載荷重

本試験は、図-7に示す地盤において切土を行った地盤に橋脚を設置する場合の掘削前後のシラス地盤の特性を調査したものである。柱状図を見ると、当地区のシラスは一次シラスでありGL-20附近は十分な支持層となる。今回、掘削前後と、フーチング施工後の各施工段階における地盤反力係数を調べた結果を図-8に示す。この結果、掘削により地盤は一時的に劣るが、荷重載荷後もシラス地盤の特性は変わらずに、復元することができる。

表-4 杭打設による横方向K値

	打設前	打設後2ヶ月	打設後/打設前
N値(1/p)	24.6	8.4	1/3
道路基盤式 K値	5.09 kg/cm <sup>3</sup>	1.74	
水平載荷試験 K値	-	1.0~1.6	
L-LT試験 K値	-	1.78	
設計K値	4.15	1.0~1.6	1/3~1/4

表-5 水平載荷試験

	設計値	試験値	試験値/設計値
水平許容支持力 (t/本)	常時	133	46~66
	地震時	223	77~109
許容変位量(cm)	常時	15mm	1/2~1/3
	地震時	25mm	

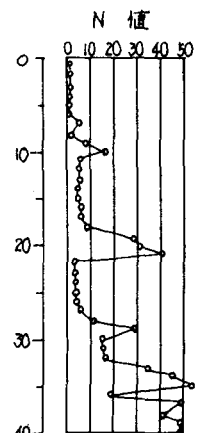


図-6 試験B

表-6 鉛直載荷試験

	試験結果	静力学支承力	動力学支承力
杭周面マツカ	244.5	151.1	258.4
杭光端支承力	106.5	124.6	151.9
杭の極限支承力	351.0	275.7	410.3
許容支承力	117.0	91.9	136.8

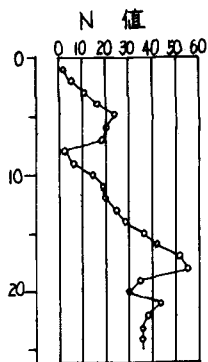


図-7

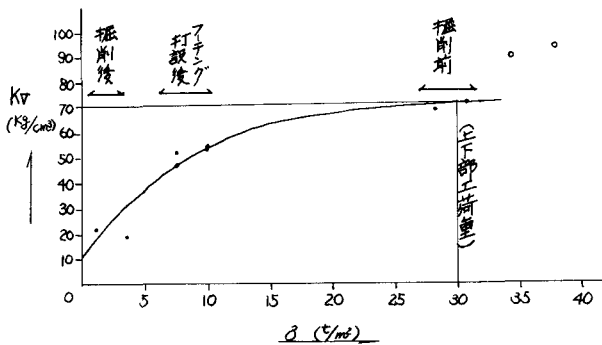


図-8 上載荷重の影響

### ③-2 深層載荷試験

シラス地盤が負のダイレタンシーを示すことには前述したが、深層載荷試験によるとシラス地盤の沈下量の特性を図-9に示す。この図では、当シラス地盤に荷重を除去した場合の弾性ひずみ量が特に小さくなることを示している。これから、鋼杭と外側補強バンドを行って打設を行った場合には、補強バンドの厚い部分にすき間が生じ、周面マサツカが低下する恐れがあることを示唆している。

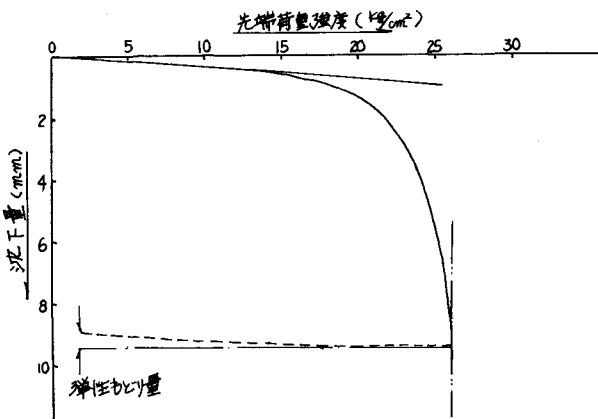


図-9 深層載荷試験 荷重除去による弾性ひずみ量

## 5.まとめ

シラス地盤における場所打撃試験コンクリート杭と鋼管杭の試験結果を説明した。この結果、次の点が明らかになった。

①シラス地盤を支持層に有る場合には、一次シラスか二次シラスか判別する必要がある。一次シラスの場合には問題とすることはないが、二次シラスの場合には注意する必要がある。

②シラス地盤の含水比が高い場合は、標準貫入試験及び鋼管杭のよう打撃工法によるデータは信頼性がない。又、杭周辺地盤を乱すことある。

③鋼管杭をシラス地盤に使用する場合は、先端補強バンドを内側に行なうことが望ましい。但し、浅い位置に明確な支持層があり、先端開孔効果が十分得られない場合は、外側補強バンドでも良い。

シラス地盤の特性は、十分につかめず各種試験を行い施工していられる現状である。また、ニードル載せついのが、鋼管杭の高止り等いろいろ特異な現象もみられる。本報告は、当地区のシラス地盤における一つの結果にすぎず、これら多くの試験を中心と検討する必要があると考えられる。